

## 担持貴金属触媒の最近の話題 —SMSI のメカニズムと触媒作用に対するその効果—

内 島 俊 雄・国 森 公 夫

筑波大学物質工学系 〒305 沢城県新治郡桜村

(1984年8月17日 受理)

### Current Topics in Supported Noble Metal Catalysts —Mechanism of SMSI and Its Effect upon Catalysis—

Toshio UCHIJIMA and Kimio KUNIMORI

Institute of Materials Science, University of Tsukuba

Sakura-mura, Niihari, Ibaraki 305

(Received August 17, 1984)

Since 1978,  $TiO_2$ -supported noble metals and related catalysts have been studied extensively in relation to SMSI (Strong Metal-Support Interaction). Initially, so-called "pill-box" structure model was proposed for SMSI, and widely accepted. This model stated that Pt hemisphere particle changes its morphology into thin pill-box, accompanied with direct chemical bond between Pt and  $Ti^{+3}$  as a result of a partial reduction of  $TiO_2$  during high temperature  $H_2$  reduction. However, a recently proposed alternative model, i.e., "migration" model, has been replacing the above one. In the "migration" model, suboxide,  $TiO_x$ , produced by reduction of support covers the metal surface, which is responsible for severe suppression of  $H_2$  and CO chemisorption.

Many works have been done on the effect of SMSI upon such catalysis as hydrogenolysis, hydrogenation and dehydrogenation of hydrocarbons and CO hydrogenation, and discussed in relation to SMSI mechanism.

1978年、 $TiO_2$  担持貴金属触媒が、高温  $H_2$  处理のあと、金属のシントラーリングは起きていないのに、 $H_2$  や CO の化学吸着能をすっかり失なってしまう、という特異な現象が見出され、発見者である Tauster らはこれを SMSI (Strong Metal-Support Interaction) と名づけた。それ以来、この特異な相互作用はどのようなメカニズムで生起するのか、また SMSI は触媒作用にどのような効果をもたらすのか、という課題は、当然触媒学者の多くの関心を呼び起こし、精力的な研究とホットな議論の対象となっている。

後述するように、SMSI のメカニズムは、担体の部分的還元に伴ない半球状の金属微粒子の形態が薄い二次元的な「pill-box」構造へ変化し、Metal- $Ti^{+3}$  の直接結合、そして  $Ti^{+3}$  から Metal への電子移行が生ずる、というモデルでひとまず決着したかにみえていた。ところが、昨年来、担体還元により生じた suboxide が金属表

面を覆うとする、「migration モデル」が声高に主張されはじめて、現在優勢である。この6年間に多くの知識が蓄積され確実な進歩があったには違いないが、その反面かえって混沌としてきたような観もある。本稿では、SMSI のメカニズムとその触媒作用に対する効果に焦点をしぼり、なお流動しつつある現状を歴史の流れをまじえて解説したい。

本論に入る前に、SMSI なる用語のつかわれ方について若干のコメントをしたい。一つは、ある実験結果を解釈するとき、十分な証拠なしに“SMSI のせいではあるまい”とする議論が多いことである。SMSI を言葉として過度に重宝がる傾向といえよう。いま一つは、本来 SMSI (強い金属・担体間相互作用) とはもっと広い一般的な意味をもつべき用語であるとして、命名者の意図とは異なるつかわれ方をされる場合も、とくに国内では多いように思われる。SMSI の字面をすなおにみれ

ば、これは必ずしも根拠のないことではないが、すでに特定の効果を指す用語として定着してしまった以上、当面は無用の混乱を避けた方がよい。本稿では、本来の限定的な意味、すなわち高温処理による担体の還元と金属の吸着能の著しい抑制を指して、SMSI とよぶ。

### 1. SMSI とは——「pill-box モデル」——

いかなる現象をさして SMSI が言われはじめたか、そのメカニズムとして何が考えられたかなど、やや歴史的なことから解説したい。

Tauster らは、 $\text{TiO}_2$  に種々貴金属を担持した触媒について、室温における  $\text{H}_2$  と  $\text{CO}$  の吸着特性を調べた<sup>1)</sup>。その結果を Table 1 に示す。H/M と CO/M は、吸着 H 原子数および吸着  $\text{CO}$  分子数の全金属原子数に対する比で、金属分散度の指標である。結果をみると、低温  $\text{H}_2$  還元 (200°C: 以下 LTR) ではいずれも中ないし高分散を示す数値を与えるが、高温で  $\text{H}_2$  還元 (500°C: 以下 HTR) すると、吸着量はすべてほぼ 0 に低下することがわかる。普通に考えると、これは金属粒子が著しくシントラリングしたことと意味するが、実際には X 線回折でも透過型電子顕微鏡観察でも、粒子の成長は認められず、依然として高分散のままである。要するに、HTR によってみかけ上  $\text{H}_2$  および  $\text{CO}$  吸着量の減少が起きたのである。このものに、400°C の  $\text{O}_2$  処理を加えると、 $\text{H}_2$  および  $\text{CO}$  の高い吸着能が回復し、もとの状態に復帰する。ここでみられた HTR による顕著な吸着能の

Table 1 Hydrogen and CO Sorption at  $25 \pm 2^\circ\text{C}$  on  $\text{TiO}_2$ -Supported Metals

Metal	Redn temp, °C	H/M	CO/M	BET area, $\text{m}^2/\text{g}^{-1}$
2% Ru	200	0.23	0.64	45
	500	0.06	0.11	46
2% Rh	200	0.71	1.15	48
	500	0.01	0.02	43
2% Pd	175	0.93	0.53	42
	500	0.05	0.02	46
2% Os	200	0.21		
	500	0.11		
2% Ir	200	1.60	1.19	48
	500	0.00	0.1	45
2% Pt	200	0.88	0.65	
	500	0.00	0.03	
Blank $\text{TiO}_2$	150 <sup>a</sup>	<sup>b</sup>		51
Support	500	<sup>b</sup>		43

<sup>a</sup> Evacuated for 2 h at 150°C; no reduction prior to BET area determination, <sup>b</sup>  $\text{H}_2$  uptake on these samples exhibited Henry's law behavior and was zero at  $P_{\text{H}_2}=0$  by extrapolation.

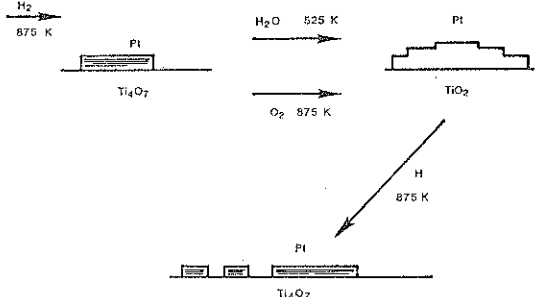


Fig. 1 Behavior of  $\text{Pt}/\text{TiO}_2$  under consecutive reduction-oxidation cycles. Both the thickness of the platinum particles and the chemical composition of the substrate surface undergo change.

抑制は、金属微粒子と担体との何らかの強い相互作用によるものと考えられ、これを Tauster らは SMSI と名づけた。

Baker らは、厚さ 350Å の  $\text{TiO}_2$  フィルムをつくり、その上に Pt を蒸着して触媒のモデル試料とし、透過型電子顕微鏡観察により SMSI のメカニズムを詳しく検討した<sup>2)</sup>。彼らは  $\text{H}_2$  处理に 600~800°C とさらに高い温度を用いているが、限界視野電子線回折により、処理後には  $\text{TiO}_2$  が  $\text{Ti}_4\text{O}_7$  に還元されていることを確認している。また、 $\text{H}_2$  处理後の透過電子顕微鏡写真では Pt 像のコントラストは低く、 $\text{O}_2$  处理後にコントラストの高い通常の粒子像になることを明らかにした。これらの結果をもとに、SMSI 状態では  $\text{TiO}_2$  が一部還元されて  $\text{Ti}_4\text{O}_7$  になり、安定な Pt-Ti の直接結合が生じる結果<sup>3)</sup>、Pt は二次元的な薄い「pill-box」構造となる。一方  $\text{O}_2$  处理により担体の O 欠陥が埋められて、Pt-Ti の結合が切れ、Pt-Pt の金属結合による安定化が優勢となり、三次元的な Pt 粒子にもどる、とする SMSI のメカニズムが提案された (Fig. 1)。

通常より高い処理温度によるモデル試料の実験ではあるが、電子顕微鏡の直接観察による確定的な証拠に基づいているので、このモデルは最近までひろく信じられてきた。しかし、後述するように、これとは相反する新しいモデルが提案されるにいたり、最近では「pill-box モデル」の立場はゆらいできたようにみられる。

一方、「pill-box モデル」に立つとしても、 $\text{H}_2$  や  $\text{CO}$  の吸着能が低下することの説明が必要であろう。その理由は、金属・担体間の電子移行による金属の電子状態の変化に求められ、理論<sup>3)</sup>と XPS<sup>4)</sup>の両面から検討された。その結果、たとえば  $\text{Rh}/\text{TiO}_2$  で  $\text{Ti}^{+3}$  から  $\text{Rh}^{+4}$  への電子移行 (0.6 電子) があるとする考えが、ひろく受け入れられた時期があるが、相矛盾する結果も多く、そ

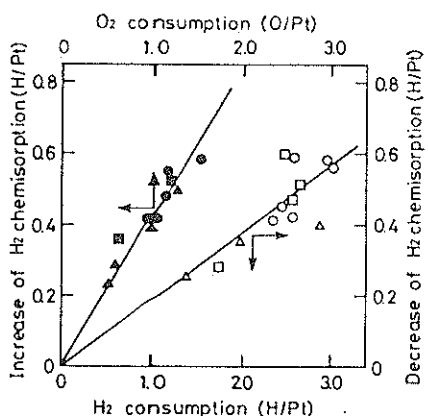


Fig. 2 The decrease of  $H_2$  chemisorption vs the  $H_2$  consumption at 773 K and the increase of  $H_2$  chemisorption vs the  $O_2$  consumption at 673 K. The blank value (1.0) was subtracted from the observed uptake of  $O_2$  (see text). ○, ● (A); □, ■ (B); △, ▲ (C).

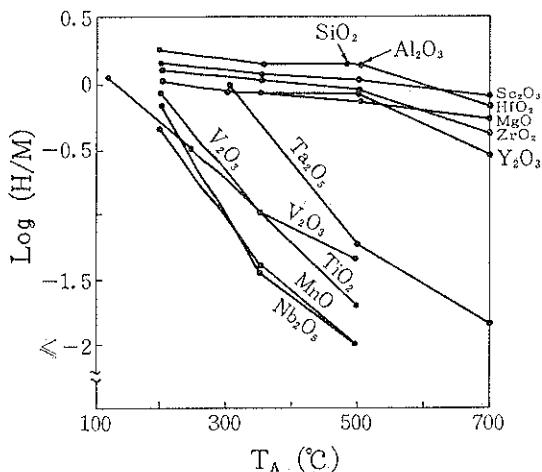


Fig. 3 Hydrogen chemisorption on iridium supported on various oxides as a function of activation in hydrogen for 1 hour at each of various temperatures ( $T_A$ , activation temperature;  $H/M$ , atomic ratio of hydrogen adsorbed to iridium in catalyst). Iridium is 1 percent (by weight) for  $SiO_2$ ,  $Al_2O_3$ ,  $V_2O_3$ , and  $HfO_2$  and 2 percent for the other supports.

の評価も定かではなくなつた（後述）。

さて、モデルの詳細に関しては、いろいろと明確でない部分が出てきたが、SMSI が担体の部分還元により生起することを疑うものはいない。筆者らは、 $Pt/TiO_2$  の系でこれを定量的に測定した（Fig. 2）<sup>5)</sup>。Fig. 2 は、HTR 時における  $H_2$  の消費量（担体との反応）とその

ときの  $H_2$  吸着量の低下、ならびに吸着能を抑制された触媒に 400°C  $O_2$  处理を加えたときの  $O_2$  消費量（担体との反応）とそのときの  $H_2$  吸着量の増加、をそれぞれ関係づけたものである。両者とも直線の関係にあり、たしかに担体の還元により吸着能が抑制され、担体の酸化によりそれが回復することを示している。両直線の傾きの比がほぼ 1:2 であることは、担体の還元・酸化が可逆的であることを示す。Fig. 2 で  $H_2$  消費量と  $H_2$  吸着減少量の関係を、吸着量が 0 になる点（この触媒では吸着減少量が 0.85 の点）まで外挿（別の直線で  $H_2$  吸着増加量 0.85 の点に外挿することと等価）することにより、 $H_2$  吸着能が完全に抑制された状態では、担体還元量は  $O/Pt$  原子数比でほぼ 2 と求められる。また、HTR 中、 $H_2$  の消費に伴ないそれに見合った  $H_2O$  が実際に生成していることも TPR 法で確認した<sup>6)</sup>。

したがって、SMSI がみられるのは  $TiO_2$  担体に限らない。易還元性の酸化物にはひとしく同様の効果が期待される。Ir について、 $H_2$  处理温度による  $H_2$  吸着能の抑制のようすを、種々の酸化物担体で比較したのが Fig. 3 である<sup>7)</sup>。 $TiO_2$ ,  $V_2O_3$ ,  $Nb_2O_5$ ,  $Ta_2O_5$ ,  $MnO$  に顕著な効果がみられ、これらを Tauster らは SMSI oxide とよび、効果のみられない  $Al_2O_3$ ,  $SiO_2$ ,  $MgO$ ,  $Sc_2O_3$ ,  $Y_2O_3$ ,  $ZrO_2$ ,  $HfO_2$  などを non-SMSI oxide として分類した。

## 2. $Al_2O_3$ は non-SMSI か

上述のように、 $Al_2O_3$  は non-SMSI oxide と分類された。しかし、 $Al_2O_3$  にも、詳細に検討すると実は  $TiO_2$  にみられたと極めて酷似した現象がみられるのである。Kunimori ら<sup>8)</sup>は、種々の  $Pt/\gamma-Al_2O_3$  で 500°C  $H_2$  处理の効果を検討したところ、金属粒子の凝集がないのに  $H_2$  吸着量の著しい減少がみられること、その程度が  $\gamma-Al_2O_3$  担体の種類に大きく依存すること、そしてその相異が実は担体中の S 不純物の量に由来していることなどがわかった。この結果は、不純物 S の還元による金属粒子の被毒現象によるものであろうと一般には受けとられやすいが、実はそうではなかった。S 含量 0.8% 以下の  $\gamma-Al_2O_3$  では、XPS, IR 測定の結果 S の酸化も還元も起きていないことは明らかである。また、高温での  $H_2$  および  $O_2$  处理中にそれぞれ  $H_2$  および  $O_2$  の消費がみられ、吸着量変化との間に Fig. 2 と同様の相関がみられることから、担体  $\gamma-Al_2O_3$  自体の部分的還元と酸化が可逆的に生起し、それに伴なって吸着能が変化しているのである。

担体還元量と吸着量変化の直線関係を外挿することに

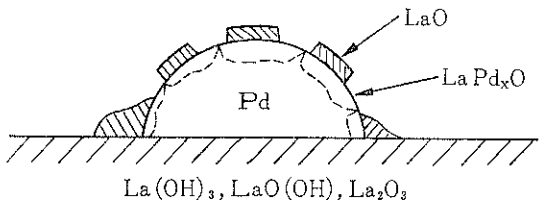


Fig. 4 Schematic illustration of the interaction of Pd with the support.

より、SMSIでは、O/Pt原子数比がほぼ1のAl<sub>2</sub>O<sub>3</sub>酸素が除去されたことになり、不純物のSはこの固相反応に対する促進剤として働いているようである。この場合にも、HTR中H<sub>2</sub>の消費に見合うH<sub>2</sub>Oが生成することを、TPR法で確かめた<sup>6</sup>。

高純度γ-Al<sub>2</sub>O<sub>3</sub>を担体とするPt/Al<sub>2</sub>O<sub>3</sub>でも、500°C H<sub>2</sub>処理でH<sub>2</sub>化学吸着量が30%ほど抑制されることを、Dautzenbergら<sup>9</sup>は示し、PtのNMRナイトシフトから、H<sub>2</sub>処理によりAl<sub>2</sub>O<sub>3</sub>の一部が還元されて、PtとAlの合金が生成するモデルを提唱している<sup>10</sup>。

最近、Kramerら<sup>11</sup>は、Pt/Al<sub>2</sub>O<sub>3</sub>モデル触媒にさらにAl<sub>2</sub>O<sub>3</sub>を薄く蒸着(3Å)した系で、メチルシクロペンタンの水素化分解反応を行ない、HTRにより活性が著しく減少し、O<sub>2</sub>処理により回復することを認め、SMSIと関連させて議論している。

最近、Nuclear Backscattering Spectrometryによる研究で、Pt/Al<sub>2</sub>O<sub>3</sub>の高温H<sub>2</sub>およびO<sub>2</sub>処理により、Pt粒子上にAl<sub>2</sub>O<sub>3</sub>が付着した形に構造変化することが示された<sup>12</sup>。これは1000°Cの高温処理を用いているので、500°C程度のHTRの結果と単純に比較することはできないが、後述する「migrationモデル」のはしりの研究と位置づけられるようである。XPSによるPd/La<sub>2</sub>O<sub>3</sub>触媒の研究でも、金属・担体相互作用の説明としてFig. 4のようなモデルを提案している<sup>13</sup>。

「migrationモデル」の詳細は次項で述べるが、その前につきのことを指摘したい。

ExxonグループのSMSIに関する初期の研究が、この分野にあまりにも大きなインパクトを与えたために、TiO<sub>2</sub>やNb<sub>2</sub>O<sub>5</sub>などはSMSIを示すが、「Al<sub>2</sub>O<sub>3</sub>はSMSIを示さない」とする一種の常識がなお根強く残っているように、一般に受けられるようである。しかし、詳細なメカニズムはともかく、HTRによる担体の部分的還元とそれにともなうH<sub>2</sub>およびCO吸着の著しい抑制は、Al<sub>2</sub>O<sub>3</sub>担体でも生じること(とくに不純物Sの効果が大きい)はまぎれもない事実で、TiO<sub>2</sub>担体ではじめて言われたSMSIの定義にまさしく合致している。Al<sub>2</sub>O<sub>3</sub>もまた、限定的な意味でのSMSIの概念に含めて考えるべきである。SMSIの概念の限定性

は、対象とする物質までをも狭く限定するものではない。

### 3. SMSIの「migrationモデル」

#### —最近の動き—

何度か述べたように、最近、今まで一般に受け入れられていたSMSIのモデル(「pill-box構造モデル」; Fig. 1)と異なる考えが、欧米で提案されはじめた<sup>14~22</sup>。共通して言えることは、Fig. 5に示すように、500°C H<sub>2</sub>処理により還元されたTiO<sub>x</sub>(1≤x<2)が金属微粒子表面に移動し、これを覆ってしまうことが、SMSIの原因とする考え方である。これを、仮に「migrationモデル\*」とよぶことにする。

ResascoとHallerは<sup>14</sup>、Rh/TiO<sub>2</sub>触媒において、エタン水素化分解反応活性のH<sub>2</sub>処理時間依存性を調べた。後述するように、この種の反応ではSMSI状態で活性が著しく低下することが知られているので、非常に明瞭に時間依存性を調べることができる。Fig. 6に示すように $\sqrt{t}$ に比例する関係が得られたこと、またH原子(マイクロ波放電、2 Torr)による室温還元処理ではH<sub>2</sub>吸着量の減少は観測されなかったことから、SMSIの発現には拡散過程を必要とする事が示唆され、彼らはFig. 5のような「migrationモデル」を提案した<sup>14</sup>。分散度の異なる試料(30~100%)間の比較で、触媒活性に対するSMSIの効果が、金属と担体が接する境界

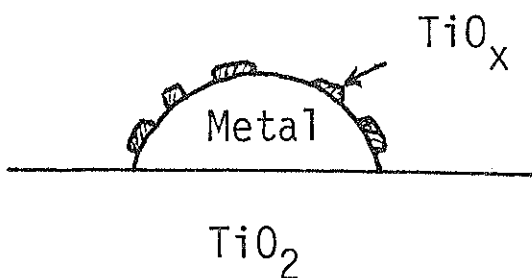
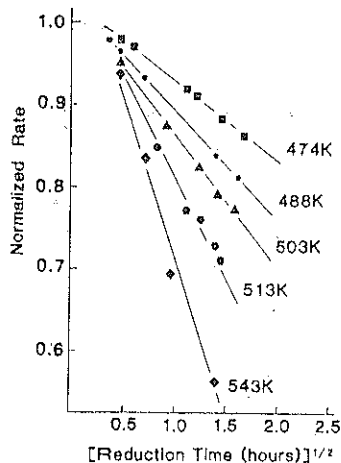


Fig. 5 Schematic illustration of "migration" model for SMSI.

\* 私事になるが、筆者の一人が、1983年9月Spillover of Adsorbed Speciesの国際会議(Lyon)で発表したとき、Cairnsの結果を引用して「migrationモデル」についての質問を受けた。その時点では、議論の一部にその概念を示唆した論文が一編<sup>15</sup>あった程度で、とくに重視してはいなかった。また、SMSIにあるPt/TiO<sub>2</sub>を室温でO<sub>2</sub>と接触させただけで、かなりの程度SMSIから解除される事実を、このモデルでは説明しにくいと考え、賛成ではない意見を述べた。「migrationモデル」に立つ論文が続々と現われたのは、その後からであった。情報交換の盛んな欧米では、さらに1~2年前から、このような議論が盛んであったのかも知れない。



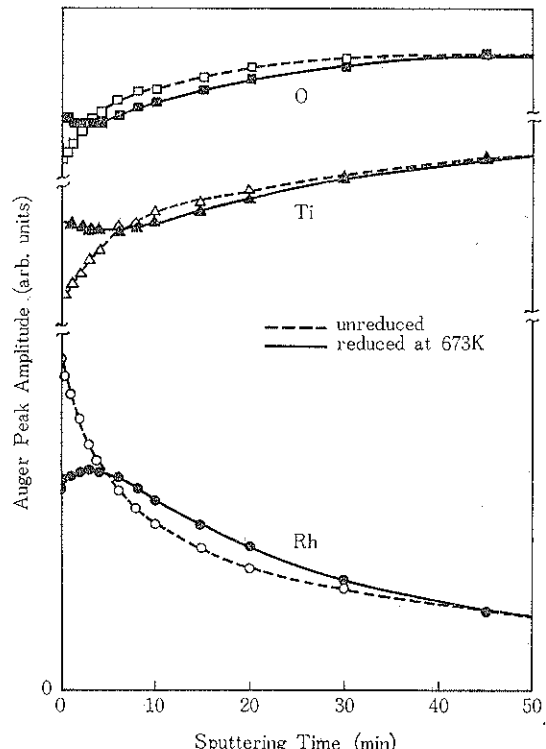
**Fig. 6** Evolution of ethane hydrogenolysis activity over Rh/TiO<sub>2</sub> in H<sub>2</sub> atmosphere as a function of square root of reduction time. The rates are normalized to the values extrapolated to time=0 at each temperature. To perform these measurements, the catalyst, in oxidized form, was placed in a pulse reactor. When the temperature was stable at the desired set point H<sub>2</sub> flow was initiated. Subsequently the activity was monitored by sending pulses of ethane.

線、すなわち金属粒子の外周の長さと平行関係にあることも、このモデルの根拠としている。その後の EXAFSによる研究もこれを支持しているとしている<sup>15)</sup>。

第8回国際触媒会議 (Berlin) での発表<sup>15)</sup>では、口頭ではあるが、EXAFSの解釈から、金属表面を覆う化学種は TiO であり、Rh-Ti-O の形で結合するところにまで言及があった。主要な質疑は、室温の O<sub>2</sub> で SMSI が一部解除されることに関連して、このような TiO 種が室温で簡単に移動するだろうかという疑問であった。これに対しては、Rh-Ti の間にいったん O が挿入されれば、生成する O-Ti-O 分子種と Rh の間の結合は弱く、もはや H<sub>2</sub> の化学吸着を妨げないとするが、彼らの主張である。この点は、現状ではあくまでコンセプトであり、実証されたわけではない。

ほかにも、Mössbauer 分光法による Fe/TiO<sub>2</sub> の研究<sup>16)</sup>、さらには Pt/TiO<sub>2</sub><sup>17)</sup>、Ni/TiO<sub>2</sub><sup>18)</sup> 系などでも、同様な migration による考えが示唆されている。

最近、この「migration モデル」を直接検証するためには、表面科学の研究グループからの実験結果がつぎつぎと発表されている<sup>19)-22)</sup>。TiO<sub>2</sub> (110) 単結晶表面に Rh を蒸着したモデル触媒による結果を Fig. 7 に示す<sup>19)</sup>。還元前の Auger スパッタリングプロファイルは、Rh が



**Fig. 7** Auger sputter profiles (Auger peak amplitude versus ion bombardment time) for un-reduced (open points, dashed curves) and reduced (solid points and curves) Rh/TiO<sub>2</sub> model catalysts. Curves for Ti and O have been shifted up for clarity.

表面に deposit した構造を示すが、高温 H<sub>2</sub> 還元によりプロファイルに顕著な変化が生ずる。すなわち、最外表面で Rh 強度が減り、Ti と O の強度が増加しており、この状態では CO 吸着が認められない。ついで、最初の 5 分間のスパッタリングで、Rh Auger ピーク強度はむしろ増加し、Ti および O ピーク強度は減少している。Rh 強度が最大になる付近では、HTR 前と同様再び CO 吸着能が出現する。これらの事実は、ある程度還元された TiO<sub>2</sub> が Rh 表面を覆う「migration モデル」を支持している<sup>19)</sup>。

Northwestern 大学のグループでも、Ni/TiO<sub>2</sub> モデル触媒について、AES や HREELS を用いた同様な表面科学的アプローチが行なわれ、TiO<sub>x</sub> が金属表面を覆うことと、SMSI の発現に重要であることを結論している<sup>20, 21)</sup>。また、pill-box モデルの本家である Exxon R. & E. グループでも、Ni/TiO<sub>2</sub> モデル触媒において、「migration モデル」を支持する論文を提出している<sup>22)</sup>。彼らは、Fig. 8 のようにデザインされたモデル触媒を用いた。最初に Ti 表面を酸化して TiO<sub>2</sub> 層を作製し、

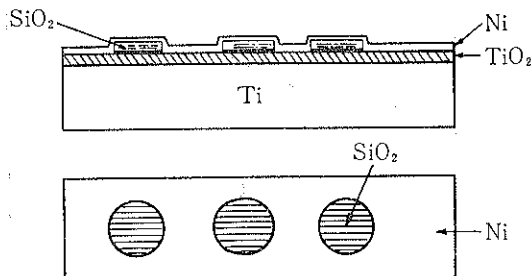


Fig. 8 Schematic representation of the geometrically designed catalyst.

つぎに図のようにマスクを通して  $\text{Si}/\text{SiO}_2$  mixture (50/50) を蒸着し、酸化処理により  $\text{SiO}_2$  層 (厚さ 10nm, 5mm $\phi$ ) を調製する。そして最後に Ni ( $\sim 10$  nm) を蒸着する。高温  $\text{H}_2$  処理後の走査 Auger 電顕測定によると、 $\text{SiO}_2$  を蒸着した場所では表面は Ni だけで Ti も Si も検出されないが、他の場所では Ni のほかに強い Ti や O Auger ピークが検知された。彼らは、「migration モデル」と等価な「デコレーションモデル」を提案した<sup>22)</sup>。彼らが Pt/TiO<sub>2</sub> 系で先に提案した「pill-box モデル」とこの新しいモデルの関係について、ここでは一切言及していないのが不思議である。Pt と Ni の金属種の相違によるとするのか、pill-box モデルを撤回したのか、現段階では判断がつかない。論文の末尾に “Further experimental information will be required before this model can be claimed to be a general explanation for SMSI behavior.” はあるのが、現状をよく表わしている。

現に、「migration モデル」に反論する結果の報告も、いくつかみられる<sup>23,24)</sup>。Pt/TiO<sub>2</sub> 触媒の EXAFS による研究では、高温  $\text{H}_2$  処理後、Pt-O bonding などは観測されず、TiO<sub>x</sub> が Pt 粒子を覆う考えを否定している<sup>23)</sup>。また、Ion Scattering Spectrometry による Pt/TiO<sub>2</sub> の測定でも、HTR により TiO<sub>x</sub> が Pt 表面を覆うことではないとしている<sup>24)</sup>。

これら 2 報は、ともに Pt/TiO<sub>2</sub> を試料としているのが一寸気になるところで、仮に本項でとりあげたすべての結果を正しいと受け取って整理するならば、Pt では「pill-box」、Rh や Ni では「migration」として、形式上は辯證を合わせることができる。しかし、同じ SMSI 行動を示す TiO<sub>2</sub> 担持触媒で、あり得ないことではないかも知れないが、金属種ですっかりメカニズムが異なるとするのは、にわかには信ずるわけには行かない。Exxon グループの言うとおり、その決着を得るために

further experimental information が必要である\*。

いずれにしても、触媒化学的に興味のもたれる SMSI のメカニズムを知るために、最新の表面科学的アプローチが数多く試みられている現状は、注目に値するし、好ましい。異なる金属種での比較、 $\text{O}_2$  处理と低温  $\text{H}_2$  处理で SMSI が破壊される過程の実証的な追跡、さらにはこれらを、より現実に近いモデル触媒で検証するなど、さらに多くのきめ細かい研究が望まれる。

SMSI に伴なう金属・担体間の電子移行の問題が、もう一つの重要な議論の対象であるが、「pill-box モデル」にしろ、最近の「migration モデル」にしろ、主張はさまざま、一定しない。XPS による SMSI の研究について、福田は本誌、5, 161 (1984) で詳しい議論を行ない、緩和エネルギーに対する仮定次第で結論に任意性があることを指摘している。詳細はそちらにゆづるが、最近の傾向としては、従来一般に考えられていた  $\text{Ti}^{+3}$  から Pt や Rh への電子移行の寄与は、あまり大きくなないとするのが妥当のようである<sup>23,25)</sup>。

前述したように、SMSI で担体が還元されていることは疑う余地がない。筆者らは、還元量を定量的に測定し、SMSI 発現には、Pt/TiO<sub>2</sub> では O/Pt 原子数比で約 2 の O、Pt/ $\gamma$ -Al<sub>2</sub>O<sub>3</sub> では約 1 の O が還元 ( $\text{H}_2\text{O}$  生成) されることを示した<sup>5,8)</sup>。Baker らのモデルに立って、SMSI 状態での局所的構造として形式的に  $\text{Pt}_n \cdot (\text{Ti}_4\text{O}_7)_{2n}$  ( $n$  は Pt 微粒子の原子数) および  $(\text{Pt} \cdot \text{Al}_{2/3})_n$  を提案したが<sup>26)</sup>、O/Pt 原子数比がほぼ 1 に近い上の結果は「migration モデル」とも矛盾しない。還元量に目を向けた研究例は他には見当らないが、最も基本的な量として重要なのみならず、分散度の異なる触媒でこれらを精密測定して比較すれば、SMSI のモデルを識別する有用な知見を与える可能性もある。今後さらに、さまざまな角度からの総合的なメカニズムの検討が必要である。

#### 4. 触媒作用に対する SMSI の効果

SMSI 状態では  $\text{H}_2$  および CO の化学吸着が著しく抑制されることから、 $\text{H}_2$  および CO の関与する反応の活性、選択性の変化に、とくに興味がもたれる。現在のところ、研究例は TiO<sub>2</sub> 担持金属触媒に集中しているが、いくつかの反応についてそれらの特徴を整理したい。

\* 8th ICC (Berlin) の折、何人かの研究者に「pill-box モデル」に対する評価を聞いてみた。明確な見解を述べたのは、オーストラリアの K. Fogler で、300Å 程度の大きな金属粒子は、SMSI であるか否かに拘わらず、TiO<sub>2</sub> 上では raft 構造をとる (電顕)、したがって SMSI のメカニズムとしての「pill-box モデル」は信じない、とのことであった。ちなみに、8 ICC の空気は、「migration モデル」一色であった。

#### 4.1 炭化水素の水素化分解、水素化および脱水素反応

Ko と Garten は、 $TiO_2$  担持第Ⅷ族金属触媒について、HTR 後 (SMSI 状態) のエタンの水素化分解活性を調べた<sup>27)</sup>。正常な状態との直接の活性比較を行っていないが、 $SiO_2$  担持触媒との比較から、SMSI ではすべての金属で数桁の活性低下があることを述べている。Meriaudeau らによると、Pt, Ir, Rh/ $TiO_2$  触媒におけるエチレン、ベンゼン、スチレンの水素化反応およびシクロヘキサンの脱水素反応などは、いずれも SMSI 状態で活性が低下し、 $O_2$  处理により回復する<sup>28)</sup>。Foger も Ir/ $TiO_2$  触媒について *n*-ブタンおよびネオペンタンの水素化分解反応を検討し、HTR により活性が 2~4 衍低下し、選択性も変化することを認め、さらに分散度による SMSI の性質の相異を指摘した<sup>29)</sup>。

SMSI (HTR) と正常な状態 (LTR) との比較ならびに分散度依存性を系統的に検討した例は少ない。Fig. 9 がほとんど唯一の例で、Rh/ $TiO_2$  触媒上でのブタンの水素化分解反応の結果を示す<sup>30)</sup>。SMSI で著しく活性低下するので、HTR 後の触媒では反応温度を 100°C だけ高くしてある。正常な状態では高分散触媒ほど比活性がやや高いが、SMSI 状態では高分散触媒ほど活性の低下が顕著である。一方、選択性 ( $C_1, C_3/C_2$  比) については、SMSI の効果はみられなかった。エタンの水素化分解反応についても Fig. 9 と同様な SMSI による活性低下と分散度依存性が得られたが、興味深いことに、シクロヘキサンの脱水素反応では、SMSI による活性の低下はほとんどなく、また分散度に対する依存性もみられなかった<sup>30)</sup>。

Fig. 10(b) に、Rh/ $TiO_2$  触媒におけるエタン水素化分解活性とシクロヘキサン脱水素活性の  $H_2$  還元温度依存性を示す<sup>14)</sup>。structure-sensitive な反応として知られるエタン水素化分解の活性は還元温度とともに顕著に低下するが、structure-insensitive なシクロヘキサン脱水素の活性は還元温度によらずほぼ一定であり、両反応で傾向が異なることは興味深い。Fig. 10(a) と比較して、Ⅶ族-Ib 族バイメタルにおける金属間相互作用と SMSI とで、反応に対する効果に共通性がみられる<sup>14)</sup>。選択性制御の手法としての SMSI の有用性を示唆するものと考えられる。

#### 4.2 CO の水素化反応

SMSI 状態での CO 水素化反応に対する効果は、Vannice らにより精力的に研究されてきた。彼らの主張によれば、Ni, Ru, Rh, Pd, Pt などの  $TiO_2$  担持 SMSI 触媒は、 $Al_2O_3$  や  $SiO_2$  などの他の担体に担持した触媒に比べ、CO の転化活性や選択性が著しく大きく

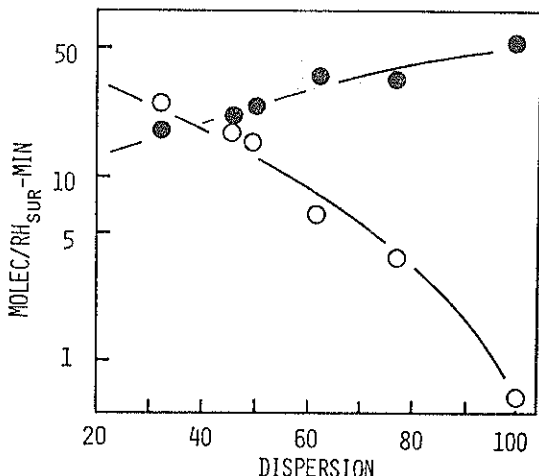


Fig. 9 *n*-Butane hydrogenolysis as a function of dispersion. The rates were measured at 473 (●), for low temperature reduction, and at 573 K (○), for high temperature reduction.

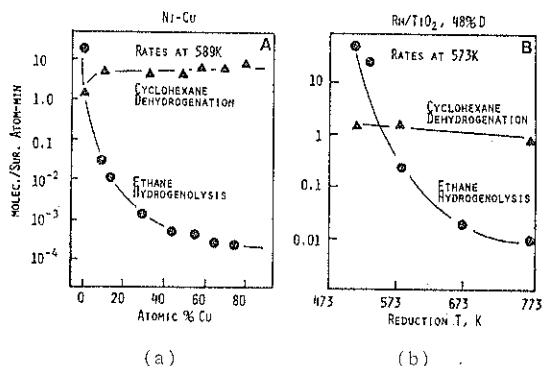


Fig. 10 Ethane hydrogenolysis and cyclohexane dehydrogenation on (a) Ni-Cu catalysts as a function of Cu content, and (b) Rh/ $TiO_2$  catalyst as a function of reduction temperature.

なったり変化したりする<sup>31)</sup>。この効果の最も著しいのは Ni/ $TiO_2$  触媒であり、他の担体に比べ CO の転化活性が著しく大きくなり、 $C_2^+$  パラフィンへの選択性を増す<sup>32)</sup>。Ru/ $TiO_2$  では、活性は他の担体に比べて差はないが、 $CH_4$  が減り  $C_2^+$  オレフィンへの選択性が増す<sup>33)</sup>。Kugler は、この SMSI Ru/ $TiO_2$ , Ru/MnO 触媒を用い、低級オレフィンの選択性的合成を試み、 $C_2 \sim C_4$  成分 78% を得ている<sup>34)</sup>。Rh/ $TiO_2$  の場合も、Ru/ $TiO_2$  と同様  $C_2^+$  オレインへの選択性が増すという<sup>31)</sup>。Meriaudeau らも同様の結果を得ている<sup>35)</sup>。Ni, Pt などは、 $TiO_2$  上では 2 次元の raft 構造になっているという<sup>2, 36)</sup>。

Vannice らを中心とするこれら初期の研究では、SMSI oxide を担体としたときの活性・選択性にみられ

**Table 2** Turnover frequency (TOF) of methanation over supported Pt catalysts (548 K, 101 kPa, H<sub>2</sub>/CO=3).

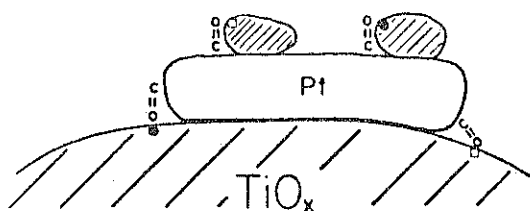
Catalyst	TOF <sup>a)</sup> N <sub>CH<sub>4</sub></sub> (sec <sup>-1</sup> ×10 <sup>3</sup> )
1.5% Pt/SiO <sub>2</sub>	0.19
1.5% Pt/SiO <sub>2</sub> ·Al <sub>2</sub> O <sub>3</sub>	1.4
2.1% Pt/η-Al <sub>2</sub> O <sub>3</sub>	1.9
0.6% Pt/TiO <sub>2</sub> (200) <sup>b)</sup>	13
1.9% Pt/TiO <sub>2</sub> (200) <sup>b)</sup>	13 <sup>c)</sup>
0.6% Pt/TiO <sub>2</sub> (SMSI)	275 [11] <sup>d)</sup>
1.9% Pt/TiO <sub>2</sub> (SMSI)	63 <sup>c)</sup> [12] <sup>d)</sup>

a) based on H<sub>2</sub> chemisorption of used catalysts.

b) Numerals in ( ) mean reduction temperature (°C). Catalysts are in normal state after 200°C reduction. c) Average values. d) based on H<sub>2</sub> chemisorption of catalysts after 200°C reduction.

る特徴と、SMSI の活性に対する効果とを、明確に区別しない議論も含まれているので、解釈の上で注意を要する。そこで、Vannice らのかつての主張を代表する 1 例を示す。Pt/TiO<sub>2</sub> や Pd/TiO<sub>2</sub> ではメタンが主生成物であることは変わらないが、SMSI で活性は著しく促進された。Table 2 は Pt/TiO<sub>2</sub> の例である<sup>37)</sup>。表の数値から、比活性の序列为 Pt/TiO<sub>2</sub> (SMSI) > Pt/TiO<sub>2</sub> (200) > Pt/Al<sub>2</sub>O<sub>3</sub> ≈ Pt/SiO<sub>2</sub>·Al<sub>2</sub>O<sub>3</sub> > Pt/SiO<sub>2</sub> であり、“SMSI による著しい活性の促進”として喧伝された。IR 測定により、SMSI では CO 吸着が弱まり、相対的に水素の金属表面濃度が高まる結果、反応が促進される<sup>38)</sup>、そしてその効果は、TiO<sub>2</sub> から金属への電子移行<sup>39)</sup>による金属微粒子の電子状態の変化に起因する<sup>40)</sup>、との理由づけもなされた。しかし、“SMSI による促進”は、データ表示の仕方によるみかけ上のものであることが、のちに分った。表 2 の Pt/TiO<sub>2</sub> (SMSI) の高い TOF 値は、SMSI で抑制された H<sub>2</sub> 吸着量をベースに計算しているためである。SMSI でも Pt 粒径すなわち分散度に変化はなく、したがって正常表面に対する H<sub>2</sub> 吸着量をベースにすれば、[ ] 内にあるように Pt/TiO<sub>2</sub> (200) と殆ど変わらない。現象としては、CO 水素化反応における触媒単位重量当たりの活性は、normal でも SMSI でも等しいのが事実である。彼らは、抑制された H<sub>2</sub> 吸着量をベースにすることの正当性を主張する論文を発表しているが<sup>41)</sup>、説得力があるとは思えない。

特定の論文のまぎらわしい点を指摘するのに多くの字数を費したが、これには理由がある。Vannice らが多数の論文で、“SMSI による著しい活性の促進”を喧伝したために、その言葉だけが一人歩きをして、いまなお無批判に引用されることが多く、その誤解を解きたいいた



**Fig. 11** Proposed model for CO hydrogenation active sites in Pt-titania systems: (●) Ti<sup>3+</sup> cation; (□) oxygen vacancy.

めである。

最近、筆者らは<sup>42)</sup>、Rh/TiO<sub>2</sub>、Pd/TiO<sub>2</sub> 上の CO 水素化反応における SMSI 効果を検討し、後述する Rh/Nb<sub>2</sub>O<sub>5</sub>、Pd/Nb<sub>2</sub>O<sub>5</sub> の場合との比較からつきの結論を得た。

(1) 同じ H<sub>2</sub> 化学吸着量 (normal 状態での H/M) をベースに比活性 (TOF) を比較すれば、HTR と LTR 後で定常活性に本質的差はない。

(2) 反応中に生成する H<sub>2</sub>O または CO 解離にもとづく O(ad) により、SMSI が解除される。Pt/TiO<sub>2</sub> の消費量測定<sup>43)</sup>から推定して、SMSI 解除に必要な酸素量 (O/M) は金属原子数と同じオーダーである。

Haller らも<sup>15)</sup>、O/M の議論はしていないが、同様な結論を出している。

Table 2 で、TiO<sub>2</sub> を担体とするとき、SiO<sub>2</sub> や Al<sub>2</sub>O<sub>3</sub> に比して著しく活性が高いことは明白である。これは、TiO<sub>2</sub> の native な性質による担体効果というべきで、SMSI による効果とは明確に区別する必要がある。TiO<sub>2</sub> 搅拌では、SiO<sub>2</sub> 等に比し、活性促進効果や選択性における特徴的な挙動など、みるべき効果があることを、先にいくつかの例で述べた。Burch らは、Ni/TiO<sub>2</sub> での反応促進効果は、Ni 金属粒子と TiO<sub>2</sub> の界面に新しい活性サイトが生成することによるとして、TiO<sub>2</sub> の特徴を記述している<sup>43)</sup>。Pd/TiO<sub>2</sub> でも同様な主張がなされた<sup>44)</sup>。現在、Burch らの考え (IMSI, Interfacial Metal-Support Interaction) は一般に受け入れられている。

SMSI 状態で CO 水素化活性が高くなることを主張してきた Vannice らも、最近は軌道修正する論文を出している<sup>45)</sup>。彼らは、HTR と LTR 後で活性に本質的な差はないことを認め、さらに Pt に TiO<sub>x</sub> をつけた触媒 (TiO<sub>x</sub>/Pt) で CO 水素化反応の比活性が増大することから、Pt/TiO<sub>2</sub> 系において、Fig. 11 のような活性点モデルを提案している<sup>45)</sup>。「migration モデル」と Burch らの IMSI の考え方を取り入れたモデルと言える。Chung らも<sup>20)</sup>、TiO<sub>x</sub>/Ni 触媒を用いて同様な議論をしている。

TiO<sub>2</sub> 以外の SMSI を示す担体 (Nb<sub>2</sub>O<sub>5</sub>, V<sub>2</sub>O<sub>3</sub> など) では研究例が少なく、十分な議論をするための材料が、現状ではそろっていない。筆者らは、Rh/Nb<sub>2</sub>O<sub>5</sub>, Pd/Nb<sub>2</sub>O<sub>5</sub> 触媒上の CO 水素化反応における SMSI 効果を検討し<sup>42,46</sup>、HTR 处理後 (SMSI 状態)、活性が 1~2 衍も顕著に減少するという興味ある結果を得た。また、反応を長時間続けると、生成する H<sub>2</sub>O などの効果で、normal 状態に触媒が変化し、活性が回復することも認められた。TiO<sub>2</sub> 担体の場合との相異の原因として、つぎの 2 つが指摘された<sup>42</sup>。

(1) M/TiO<sub>2</sub> と比較し、M/Nb<sub>2</sub>O<sub>5</sub> の場合 SMSI が解除されにくい (M=Rh or Pd)。

(2) M/Nb<sub>2</sub>O<sub>5</sub> の場合と異なり、M/TiO<sub>2</sub> では SMSI 状態における活性もそれほど低くない。

(2) の説明として、M/TiO<sub>2</sub> の場合、Fig. 11 のようなモデルを認めるとして、M/Nb<sub>2</sub>O<sub>5</sub> においては何故顕著に活性が下がるのか興味深いところである。H<sub>2</sub> 化学吸着量変化は、M/TiO<sub>2</sub> と M/Nb<sub>2</sub>O<sub>5</sub> とで同様な挙動を示すこと<sup>42</sup>から、SMSI の性質が酸化物間で互に異なることが示唆される。

一方、Ko らは<sup>47</sup>、Ni/Nb<sub>2</sub>O<sub>5</sub> 触媒上のエタン水素化分解および CO 水素化反応の研究を報告している。Ni/SiO<sub>2</sub> 触媒と比較して、前者では活性が顕著に減少し、後者ではむしろ高活性で選択性も異なるという結果を得、これらの反応や吸着の挙動をプローブとして SMSI 発現の度合を識別すること (Hierarchy to rank SMSI) を提案している。しかし、比較的還元しにくい Ni 金属を用いているので、LTR と HTR 处理後の活性を直接比較するのは困難であり、筆者らの M/Nb<sub>2</sub>O<sub>5</sub> (M=Rh or Pd) と同様な議論はできないと思われる。

## 5. おわりに

SMSI には何か良いことがありますか、とよく質問される。そのうちには、役に立たないでしょうというひびきが感じられることがある。しかし、それは偏見である。

たしかに、SMSI で著しく活性が促進されるなどの例は、いまのところ知られていない。しかし、実用の面から言えば、SMSI の効果が反応の種類に著しく依存し<sup>48</sup>、バイメタルにみられる挙動によく似ていることは、選択性制御の手法として SMSI が有用である可能性を示している。この種の研究は、まだ限られた系でしか行なわれていないが、今後の研究の拡がりが期待される。

いまひとつ、さらに重要なことは、SMSI という特異な現象の発見が契機となり、最新の表面科学的手法も動員されて、担体の作用が精力的に調べられはじめたこと

である。担体効果というブラックボックスを解明するのに、SMSI を動機とする研究が大いに貢献するものと期待される。

SMSI がはじめて報告されて、まだ 6 年である。その間に、若干の混乱を含みつつも、集中的な研究によって随分多くのことが明らかになった。当分は、はげしく揺れながらもこの勢いは保たれるであろう。速断は差し控えて今後の動きに注目したい。

## 文 献

- 1) Tauster, S. J., Fung, S. C., and Garten, R. L.: *J. Am. Chem. Soc.*, **100** (1978) 170.
- 2) Baker, R. T. K., Prestridge, E. B. and Garten, R. L.: *J. Catalysis*, **56** (1979) 390; *ibid.*, **59** (1970) 293.
- 3) Horsley, J. A.: *J. Am. Chem. Soc.*, **101** (1979) 2870.
- 4) Sexton, B. A., Hughes, A. E. and Fogar, K.: *J. Catalysis*, **77** (1982) 85.
- 5) Kunimori, K., Matsui, S. and Uchijima, T.: *ibid.*, **85** (1984) 253.
- 6) Kunimori, K. and Uchijima, T.: *unpublished*.
- 7) Tauster, S. J. and Fung, S. C.: *J. Catalysis*, **55** (1978) 29; Tauster, S. J., Fung, S. C., Baker, R. T. K. and Horsley, J. A.: *Science*, **211** (1981) 1121.
- 8) Kunimori, K., Ikeda, Y., Soma, M. and Uchijima, T.: *J. Catalysis*, **79** (1983) 185.
- 9) Dautzenberg, F. M. and Wolters, H. B. M.: *ibid.*, **51** (1978) 26.
- 10) Den Otter, G. J. and Dautzenberg, F. M.: *ibid.*, **53** (1978) 116.
- 11) Kramer, R. and Zeugg, H.: *ibid.*, **80** (1983) 446.
- 12) Cairns, J. A., Baglin, J. E. E., Clark, G. J. and Ziegler, J. F.: *ibid.*, **83** (1983) 301.
- 13) Fleisch, T. H., Hicks, R. F. and Bell, A. T.: *ibid.*, **87**, (1984) 398.
- 14) Resasco, D. E. and Haller, G. L.: *ibid.*, **82** (1983) 279.
- 15) Haller, G. L., Henrich, V. E., McMillan, M., Resasco, D. E., Sadeghi, H. R. and Sakellson, S.: *8th Intern. Congr. on Catalysis* (Berlin), **V**, (1984) 135, Verlag Chemie.
- 16) Santos, J., Phillips, J. and Dumesic, J. A.: *J. Catalysis*, **81** (1983) 147.
- 17) Meriaudeau, P., Dutel, J. F., Defaux, M. and Naccache, C.: *Studies in Surf. Sci. and Catalysis*, **11** (B. Imelik et al., Eds.), 95 (1982) Elsevier.
- 18) Jiang, X-Z., Hayden, T. F. and Dumesic, J. A.: *J. Catalysis*, **83** (1983) 168.
- 19) Sadeghi, H. R. and Henrich, V. E.: *ibid.*, **87** (1984) 279.

- 20) Chung, Y.-W., Xiong, G. and Kao, C.-C.: *ibid.*, **85** (1984) 237.
- 21) Takatani, S. and Chung, Y. W.: Effect of High Temperature Reduction on The Surface Composition of and CO Chemisorption on Ni/TiO<sub>2</sub>, *J. Catalysis*, in press.
- 22) Simoens, A. J., Baker, R. T. K., Dwyer, D. J., Lund, C. R. F. and Madon, R. J.: *J. Catalysis*, **86** (1984) 359.
- 23) Short, D. R., Mansour, A. N., Cook, Jr., J. W., Sayers, D. E. and Katzer, J. R.: *ibid.*, **82** (1983) 299.
- 24) Kelley, M. J., Short, D. R. and Swartzfager, D. G.: *J. Molecular Catalysis*, **20** (1983) 235.
- 25) Huizinga, T., van't Blik, H. F. J., Vis, J. C. and Prins, R.: *Surf. Sci.*, **135** (1983) 580.
- 26) Kunimori, K. and Uchijima, T.: Studies in Surf. Sci. and Catalysis, **17** (Pajonk, C. M. et al., Eds.), 197 (1983) Elsevier.
- 27) Ko, E. I. and Garten, R. L.: *J. Catalysis*, **68** (1981) 233.
- 28) Meriaudeau, P., Ellestad, O. H., Defaux, M. and Naccache, C.: *ibid.*, **75** (1982) 243.
- 29) Foger, K., *ibid.*, **78** (1982) 406.
- 30) Resasco, D. E. and Haller, G. L.: Studies in Surf. Sci. and Catalysis, **11** (Imelik, B. et al., Eds.), 105 (1982) Elsevier.
- 31) Vannice, M. A.: *J. Catalysis*, **74** (1982) 199.
- 32) Vannice, M. A. and Garten, R. L.: *ibid.*, **56** (1979) 236; *ibid.*, **66** (1980) 242.
- 33) Vannice, M. A. and Garten, R. L.: *ibid.*, **63** (1980) 255.
- 34) Kugler, E. L.: Preprints of Symposium on Alternate Feedstocks for Petrochemicals, Division of Petroleum Chemistry, Inc., American Chemical Society, San Francisco Meeting, **25** (1980) 564.
- 35) Meriaudeau, P., Ellestad, H. and Naccache, C.: *J. Molecular Catalysis*, **17** (1982) 219.
- 36) Smith, J. S., Thrower, P. A. and Vannice, M. A.: *J. Catalysis*, **68** (1981) 270.
- 37) Vannice, M. A.: Preprint of Panpacific Synfuel Conference, Tokyo (1982), B-13.
- 38) Vannice, M. A., Twu, C. C. and Moon, S. H.: *J. Catalysis*, **79** (1983) 70.
- 39) Fung, S. C.: *ibid.*, **76** (1982) 225; Herrman, J. M. and Pichat, D.: *ibid.*, **78** (1982) 425; Kao, C.-C., Tsui, S.-C., Cung, Y.-W.: *ibid.*, **73** (1982) 136.
- 40) Vannice, M. A. and Vasco-Jara, J.: Studies in Surf. Sci. and Catalysis, **11** (Imelik, B. et al., Eds.), (1982) 185 Elsevier.
- 41) Vannice, M. A. and Twu, C. C.: *J. Catalysis*, **82** (1983) 213.
- 42) Kunimori, K., Abe, H., Yamaguchi, E., Matsui, S. and Uchijima, T.: 8th Intern. Congr. on Catalysis (Berlin), **V**, 251 (1984) Verlag Chemie.
- 43) Burch, R. and Flambard, A. R.: *J. Catalysis*, **78** (1982) 389; Burch, R., Flambard, A. R., Studies in Surf. and Catalysis, **11** (Imelik, B. et al., Eds.), 193 (1982) Elsevier.
- 44) Bracey, J. D. and Burch, R.: *J. Catalysis*, **86** (1984) 384.
- 45) Vannice, M. A. and Sudhakar, C.: *J. Phys. Chem.*, **88** (1984) 2429.
- 46) Kunimori, K., Abe, H. and Uchijima, T.: *Chem. Lett.*, (1983) 1619.
- 47) Ko, E. I., Hupp, J. M., Rogan, F. H. and Wagner, N. J.: *J. Catalysis*, **84** (1983) 85; Ko, E. I., Hupp, J. M. and Wagner, N. J.: *ibid.*, **86** (1984) 315.